

УДК 532.59:551.466.8

A. E. БУКАТОВ

## К вопросу о внутренних волнах в непрерывно стратифицированном море

Исследуются внутренние волны, генерируемые в неоднородной жидкости периодическими колебаниями участка дна бассейна. Плотность жидкости непрерывно изменяется с глубиной по закону, соответствующему двухслойной модели со стратифицированным верхним и однородным нижним слоями.

1. РАССМОТРИМ неограниченный в горизонтальных направлениях слой идеальной несжимаемой жидкости конечной глубины. В невозмущенном состоянии плотность жидкости непрерывно изменяется с глубиной по закону

$$\rho(z) = \begin{cases} \rho_0 \exp(-\kappa z) & -H_r \leq z \leq 0 \\ \rho_0 \exp(\kappa H_r) & -H \leq z \leq -H_r, \end{cases} \quad (1.1)$$

соответствующему двухслойной плотностной модели. Исходя из линеаризованной системы уравнений движения [8]

$$\frac{\partial u}{\partial t} - 2\omega v = -\rho^{-1} \frac{\partial p}{\partial x}, \quad \frac{\partial v}{\partial t} + 2\omega u = \rho^{-1} \frac{\partial p}{\partial y}, \quad (1.2)$$

$$\frac{\partial w}{\partial t} + g \rho^{-1} p_r = -\rho^{-1} \frac{\partial p}{\partial z}, \quad \frac{\partial p_r}{\partial t} + \frac{\partial p}{\partial z} w = 0, \quad \frac{\partial u}{\partial x} + \frac{\partial v}{\partial y} + \frac{\partial w}{\partial z} = 0,$$

проведем исследование внутренних волн, генерируемых пе-

периодическими колебаниями участка дна бассейна, происходящими с вертикальной скоростью

$$w^* = \alpha f(x, y) \cos \beta t. \quad (1.3)$$

Здесь  $\rho$  и  $\rho_0$  — возмущения давления и плотности под влиянием движения;  $u$ ,  $v$ ,  $w$  — составляющие вектора скорости;  $2\omega$  — параметр Кориолиса. Решение системы (1.2), удовлетворяющее граничным условиям

$$\rho_0 g \zeta - \rho(x, y, 0, t) = 0, \quad \zeta = w(x, y, 0, t) \quad (1.4)$$

на свободной поверхности и

$$w(x, y, -H, t) = w^* \quad (1.5)$$

на дне, а также условию непрерывности давления и вертикальной составляющей скорости на границе раздела слоев ( $z = -H$ ). найдем методом интегральных преобразований аналогично тому, как это проделано в работе [3], где исследуются волны от периодических поверхностных давлений. В результате этого при выполнении условий

$$\beta^2 > \kappa g, \quad \beta > 2\omega \quad (1.6)$$

найдем в осесимметричном случае ( $f(x, y) = f(R)$ ,  $R = \sqrt{x^2 + y^2}$ ) при больших  $R$  такие формулы вида вертикальной составляющей скорости, возмущенного давления, свободной поверхности  $\zeta$  и поверхности раздела  $\zeta_1$ :

$$w = A(r_0, z) \sin d_0, \quad \rho = \delta \rho(z) \tilde{\zeta}^{-2}(r_0) A_z(r_0, z) \cos d_0, \\ \zeta = \delta \tilde{\zeta}(r_0, 0) \cos d_0, \quad \zeta_1 = \delta \tilde{\zeta}(r_0, -H) \cos d_0, \quad (1.7)$$

где

$$A(r, z) = \alpha \beta \frac{\psi(r, z)}{\Delta'(r) \operatorname{ch} \tilde{\zeta} H_2} f^*(r),$$

$$\tilde{\zeta} = r \delta (\beta^2 - 4\omega^2)^{-1/2}, \quad d_0 = r_0 R - \delta t - \frac{\pi}{4}, \quad \alpha = -\alpha \sqrt{2\pi}, \quad \beta = (r/R)^{1/2},$$

$$\psi(r, z) = \begin{cases} \psi_1 & -H_1 \leq z \leq 0 \\ \psi_2 & -H_1 \leq z \leq H_1, \end{cases}, \quad (1.8)$$

$$\psi_1 = \left[ \gamma \operatorname{ch} \gamma z - \left( \frac{\kappa}{2} - 2D \right) \operatorname{sh} \gamma z \right] \exp \left[ \frac{\kappa}{2} (z + H_1) \right],$$

$$\psi_2 = \left[ \Delta_1(r, z) \operatorname{sh} \gamma H_1 + \gamma \operatorname{ch} \gamma H_1 + D \Delta_2(r, z) \right] \operatorname{ch} \gamma (z + H_1),$$

$$\Delta_1(r, z) = \frac{\kappa}{2} - (1 - \kappa g / \delta^2) \gamma \operatorname{th} \gamma (z + H_1), \quad D = 2g / \delta^2,$$

$$\Delta_2(r, z) = (\gamma \operatorname{ch} \gamma H_1 - \frac{1}{2} \kappa \operatorname{sh} \gamma H_1) \operatorname{th} \gamma (z + H_1) - 2 \operatorname{sh} \gamma H_1,$$

$$\gamma = \left[ (1 - \kappa g / \delta^2) \gamma^2 + \kappa^2 / 4 \right]^{1/2}, \quad f(r) = \int_0^\infty R f(R) J_0(rR) dR, \quad \Delta(r) = \psi_2(r - H) \operatorname{ch} \gamma^{-1} H_2,$$

$r_0$  – действительный положительный корень уравнения

$$\Delta_1(r, H) \operatorname{sh} \gamma H_1 + \gamma \operatorname{ch} \gamma H_1 + D \Delta_2(r, -H) = 0, \quad (1.9)$$

штрих означает производную по  $r$ .

При условии

$$2\omega < \sigma < \sqrt{\kappa g} \quad (1.10)$$

получим

$$w = \sum_{n=0}^{\infty} R(r_n, z) \sin d_n, \quad P = \delta p(z) \sum_{n=0}^{\infty} \gamma^2(r_n) R_z(r_n, z) \cos d_n, \\ \tilde{\gamma} = \delta \sum_{n=0}^{\infty} R(r_n, 0) \cos d_n, \quad \tilde{\gamma}_1 = \delta \sum_{n=0}^{\infty} R(r_n, -H_1) \cos d_n. \quad (1.11)$$

Здесь

$$\psi_1 = \left[ \gamma_1 \cos \gamma_1 z - \left( \frac{\kappa}{2} - 2D \right) \sin \gamma_1 z \right] \exp \left[ \frac{\kappa}{2} (z + H_1) \right],$$

$$\psi_2 = \left[ \Delta_1(r, z) \sin \gamma_1 H_1 + \gamma_1 \cos \gamma_1 H_1 + D \Delta_2(r, z) \right] \operatorname{ch} \gamma_1 (z + H_1),$$

$$\Delta_2 = (\gamma_1 \cos \gamma_1 H_1 - \frac{1}{2} \kappa \sin \gamma_1 H_1) \operatorname{th} \gamma_1 (z + H_1) - 2 \sin \gamma_1 H_1,$$

$$\gamma_1 = \left[ (\kappa g / \delta^2 - 1) \gamma^2 - \kappa^2 / 4 \right]^{1/2},$$

$r_n$  - положительные корни уравнения

$$\Delta_1(r, H) \sin y, H_1 + y_1 \cos y, H_1 + D\Delta_2(r, -H) = 0, \quad (1.12)$$

а все остальные обозначения те же, что и в формулах (1.8).

Если  $\omega = af(x) \cos \delta t$ , то для  $\omega$ ,  $\rho$  и  $y_{1,2}$  справедливы формулы (1.7) при условии (1.8) и формулы (1.11) при условии (1.10) с той только разницей, что

$$d_n = r_n x - \delta t, \quad \delta = 1, \quad f(r) = \frac{1}{\sqrt{2\pi}} \int_0^\infty f(x) \exp(-irx) dx.$$

Горизонтальную составляющую скорости плоских волн определим при условии (1.8) по формуле

$$u = r_0^{-1} A_z(r_0, z) \cos \delta_0, \quad (1.13)$$

а при условии (1.10) по формуле

$$u = \sum_{n=0}^{\infty} r_n^{-1} A_z(r_n, z) \cos \delta_n. \quad (1.14)$$

Сходимость рядов (1.11), (1.14) обеспечивается соответствующим выбором функции  $f(x)$ .

2. Из формул (1.7)-(1.14) видно, что условия генерации поверхностных и внутренних волн такие же, как и при периодических поверхностных давлениях. При  $b > 2\omega, b > \sqrt{kg}$  периодические колебания участка дна бассейна генерируют в непрерывно стратифицированной жидкости, плотность которой изменяется с глубиной по закону (1.1), только одну поверхностную волну. Амплитуда ее, как и в случае периодических поверхностных давлений, непрерывно убывает с глубиной, принимая максимальное значение на свободной поверхности. Деформация элементов этой волны за счет неоднородности жидкости не превышает 1%.

При условии (1.10) периодические колебания дна бассейна генерируют в непрерывно стратифицированной жидкости бесконечный спектр волн-гармоник. Волна с номером  $n = 0$  представляет собою обычную поверхностную волну. Влияние неоднородности на элементы этой волны не превышает 1%. Волны с номерами  $n \geq 1$  - чисто внутренние волны, обусловленные наличием плотностной стратификации. Они отвечают вещественным корням  $r_n$  ( $n = 1, 2, \dots$ ) уравнения (1.12). Распределение корней этого уравнения по частотному спектру и по коэффициенту стратификации  $\epsilon = \kappa H$ , аналогично распределению при периодических поверхностных давлениях. Приближенная формула для определения  $r_n$  получена в работе [3]. Эта формула дает достаточно хорошую степень точности, возрастающую с ростом номера  $n$ .

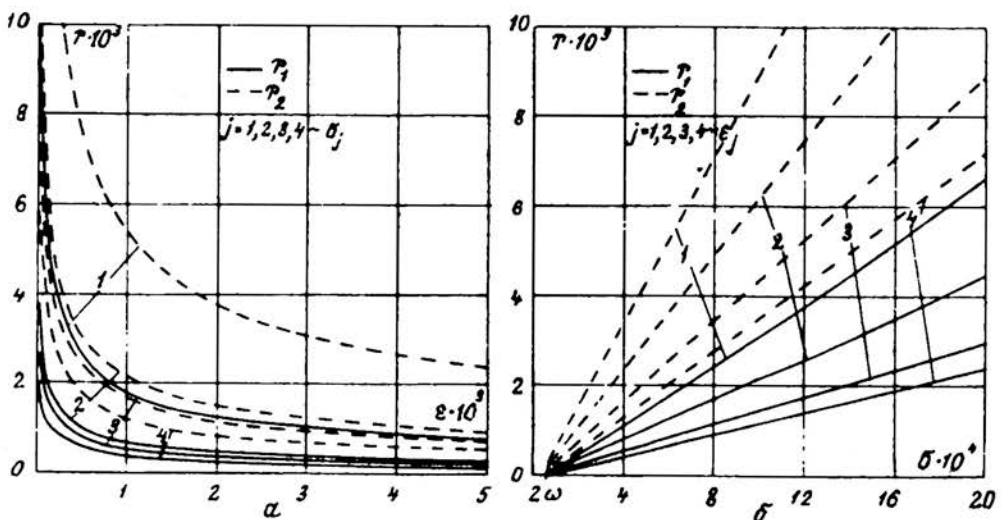


Рис. 1. Зависимость  $r_1$  и  $r_2$  от перепада плотности и частоты колебаний

Например, при  $\beta = 2,5 \cdot 10^{-4}$  сек $^{-1}$ ,  $H = 60$  м,  $H_2 = 2020$  м и  $\varepsilon = 3 \cdot 10^{-3}$  ошибка в определении корней  $r_1$  и  $r_2$  составляет соответственно 1,2 и 0,7%. С увеличением  $\beta$  ошибка уменьшается и при  $\beta = 10^{-3}$  сек $^{-1}$  не превышает 0,1%. На рис. 1 изображена зависимость  $r_1$  и  $r_2$  от  $\varepsilon$  и  $\beta$  при  $H_1 = 60$  м,  $H_2 = 2080$  м, полученная в результате численного решения уравнения (1.12). При этом  $\beta_j \cdot 10^4$  (сек $^{-1}$ ) принимались соответственно равными 8,7; 3,625; 2,9; 2,175, а  $\varepsilon_j \cdot 10^3$  — равными 0,5; 1; 2; 3. При  $\varepsilon \rightarrow 0$  и фиксированном  $\beta$  функции  $r_{1,2}(\varepsilon) \rightarrow \infty$ , а при  $\varepsilon \rightarrow \infty$   $r_{1,2}(\varepsilon) \rightarrow 0$ . Это же имеет место и для  $r_n$  при  $n = 3, 4, \dots$ . Зависимость  $r_{1,2}$  от  $\beta$  при фиксированном  $\varepsilon$  линейная. Причем угол между сплошной и штриховой линиями, отвечающими одному  $j$ , уменьшается с ростом  $\varepsilon_j$ , что говорит об уплотнении волнового спектра с ростом перепада плотности.

Анализ показал, что качественная зависимость волногармоник от  $z$  аналогична зависимости при периодических поверхностных давлениях. Для вертикальной составляющей скорости и периодических поверхностных давлений эта зависимость исследована в работе [3]. Число узлов гармоники  $\omega_n$  ( $n \geq 1$ ) при  $0 \leq z < H$  определяется ее номером  $n$ . Причем  $j$ -й узел  $n$ -й гармоники ( $j \leq n$ ) от свободной поверхности находится на глубине

$$z = -\frac{\pi(j-1) + \varphi(r_n)}{\delta_1(r_n)}, \quad \operatorname{tg} \varphi = \frac{\ell_1}{2D - \kappa/2}$$

Фазовые скорости и длины волн-гармоник равны соответственно  $v_n = \delta/r_n$ ,  $\lambda_n = 2\pi/r_n$ .

Для выяснения влияния неоднородности жидкости на характер распределения  $w$ ,  $u$  и  $\rho$  плоских волн по глубине проводились численные расчеты по формулам (1.11), (1.14) для  $f(x)$  вида

$$f(x) = \begin{cases} \cos^2 \pi x / 2\ell & |x| \leq \ell \\ 0 & |x| > \ell \end{cases} \quad (1.15)$$

и значений

$$2\omega = 6,6 \cdot 10^{-5} \text{ сен}^{-1}, \quad \ell = 10^4 \text{ м}, \quad H_1 = 60 \text{ м}, \quad H = 2080 \text{ м}, \quad 0 \leq \varepsilon \leq 5 \cdot 10^{-3}, \quad 2\omega < \delta < \sqrt{\kappa g}. \quad (1.16)$$

Вычислялись оценки максимально возможных значений вертикальной и горизонтальной составляющих скорости, а также давления  $\rho$ , справедливые на заданном горизонте при любом значении  $x$ . Эти величины обозначены соответственно через  $\bar{A}$ ,  $\bar{B}$ ,  $\bar{C}$ . На рис. 2 приведены зависимос-

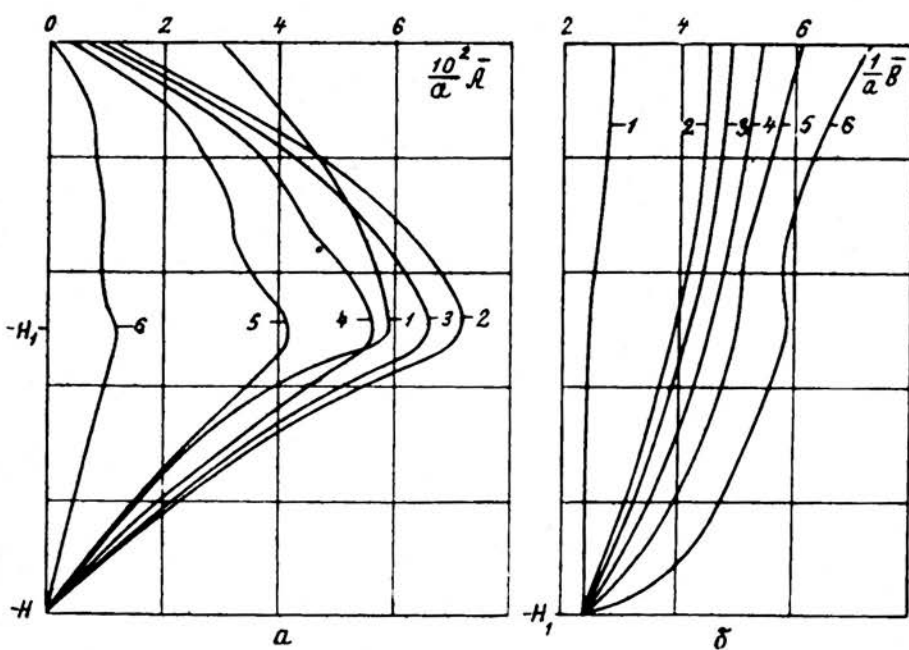


Рис. 2. Распределение  $\bar{A}$  и  $\bar{B}$  по глубине жидкости

ти  $\bar{\lambda}(z)$  и  $\bar{B}(z)$  при  $\varepsilon = 10^{-3}$ , где линии 1, 2, ..., 6 отвечают значениям  $10^4 b$  (сек $^{-1}$ ), соответственно равным 8,7; 3,825; 2,8; 2,175; 1,45; 7,26. Видно, что в верхнем стратифицированном слое  $\bar{\lambda}(z)$  растет с глубиной, а в нижнем однородном убывает. Максимум  $\bar{\lambda}(z)$  достигается на границе раздела слоев. Значение  $\bar{\lambda}$  на свободной поверхности ( $z = 0$ ) с точностью до 1% совпадает со значением  $\bar{\lambda}(0)$  в однородной жидкости. Качественно такая же картина распределения  $\bar{\lambda}$  по глубине имеет место и при генерации волн периодическими поверхностными давлениями. Однако для одних и тех же значений параметров отношение  $\max \bar{\lambda}(z)/\bar{\lambda}(0)$  в случае периодических поверхностных давлений значительно больше, чем в случае придонных возмущений. В частности, при  $b = 1,45 \cdot 10^{-4}$  сек $^{-1}$  и  $\varepsilon = 10^{-3}$  это отношение в первом случае больше 50, а во втором равно 7,4. Оценка горизонтальной составляющей скорости  $\bar{B}(z)$  в верхнем слое убывает с глубиной, а в нижнем слое остается постоянной. Причем увеличение  $B(-H_1)$  за счет неоднородности при изменении параметров в пределах (1.6) не больше 2%.

На рис. 3 изображена зависимость  $\max \bar{\lambda}(z) = \bar{\lambda}^*$  и  $\max \bar{B}(z) = B^*$  как функции параметра  $\varepsilon$ . Линии 1, 2, ..., 6 на этом рисунке отвечают тем же значениям  $b$ , что и линии 1, 2, ..., 6 на рис. 2. На рис. 3 видно, что каждому фиксированному значению

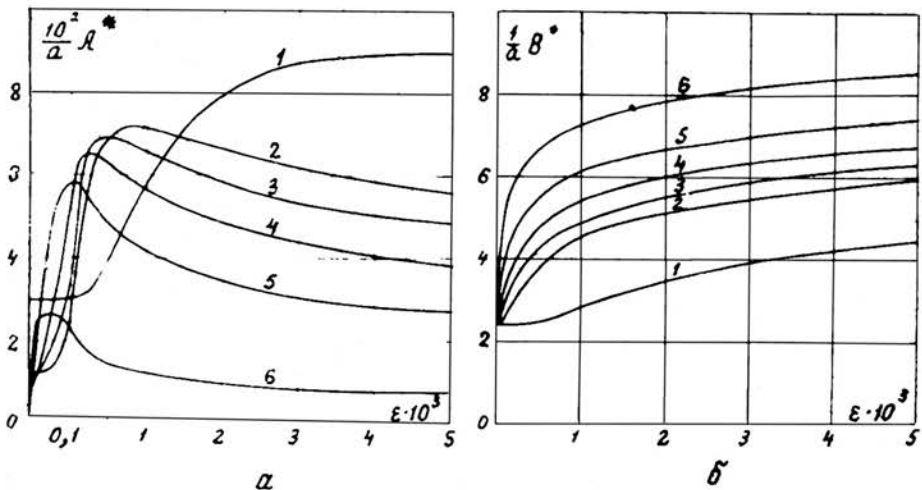


Рис. 3. Зависимость  $\lambda^*$  и  $B^*$  от перепада плотности

частоты колебаний  $\delta^*$  отвечает свое значение  $\varepsilon = \varepsilon^*$ , при котором функция  $\lambda^*(\varepsilon)$  принимает максимальное значение.

Большему  $\delta$  соответствует и большее  $\varepsilon^*$ . Причем в области  $\varepsilon < \varepsilon^*$  функция  $\lambda^*(\varepsilon)$  резко возрастает. Отношение  $\lambda^*(\varepsilon^*)/\lambda^*(0)$  для частот, отвечающих кривым 1, 2, ..., 6, равно соответственно 2,9; 5,6; 6,9; 9; 13,2; 26,5. Это говорит о том, что с увеличением периода колебаний наличие плотностной стратификации может привести к значительному увеличению амплитуды колебаний, генерируемых внутри жидкости периодическими колебаниями участка дна.

Функция  $\theta^*(\varepsilon)$  при фиксированном  $\delta$  растет на всем отрезке  $0 \leq \varepsilon \leq 5 \cdot 10^{-3}$ , но в области  $0 < \varepsilon < 10^{-3}$  и  $2\omega < \delta \leq 3,625 \cdot 10^{-4} \text{ сек}^{-1}$  она растет значительно быстрее, чем при  $\varepsilon > 10^{-3}$ . При этом большему периоду колебаний при фиксированном  $\varepsilon$  соответствует и большее значение  $\partial\theta^*/\partial\varepsilon$ . Отметим, что при  $\varepsilon = 0$  значения  $\theta^*$  для всех рассматриваемых  $\delta$  фактически совпадают между собой (рис. 3,б).

На рис. 4 приведена зависимость  $\lambda^*$  и  $\theta^*$  от частоты колебаний  $\delta$  при различных значениях перепада плотности  $\varepsilon$ . Отсюда видно, что при  $\varepsilon \geq 5 \cdot 10^{-4}$  максимальные расстояния от кривых  $\lambda^*(\delta)$  с номерами 2, 3, ..., 8 до линии с номером 1, отвечающей однородной жидкости ( $\varepsilon = 0$ ), примерно одинаковые. Следовательно, при различных  $\varepsilon \geq 5 \cdot 10^{-4}$  в неоднородной жидкости могут возникать внутренние волны с одинаковыми амплитудами. Однако диапазон частотного спектра, на котором могут возникать внутренние волны с амплитудами, близкими к  $\max \lambda^*(\delta)$ , изменяется с увеличением перепада плотности. Например, при  $\varepsilon = 10^{-3}$  значение, равное  $\frac{1}{2} \max \lambda^*(\delta)$ , принимается на интервале частот ( $10^4 \delta \text{ сек}^{-1}$ ), равном (1, 6), а при  $\varepsilon = 5 \cdot 10^{-3}$  — на интервале (2, 18,5). В области низких частот меньшему перепаду плотности соответствует более сильное изменение  $\lambda^*(\delta)$ .

Несмотря на то, что внутренние волны-гармоники генерируются при  $2\omega < \delta < \sqrt{\kappa g}$ , влияние неоднородности жидкости на волновое движение заметно оказывается лишь на периодах, значительно превышающих  $2\pi/N$  ( $N = \sqrt{\kappa g}$  — частота Вийсяля). В частности, линиям 2, 3, ..., 8 на рис. 4 отвечают значения  $10^2 N (\text{сек}^{-1})$ , равные соответственно 0,4;

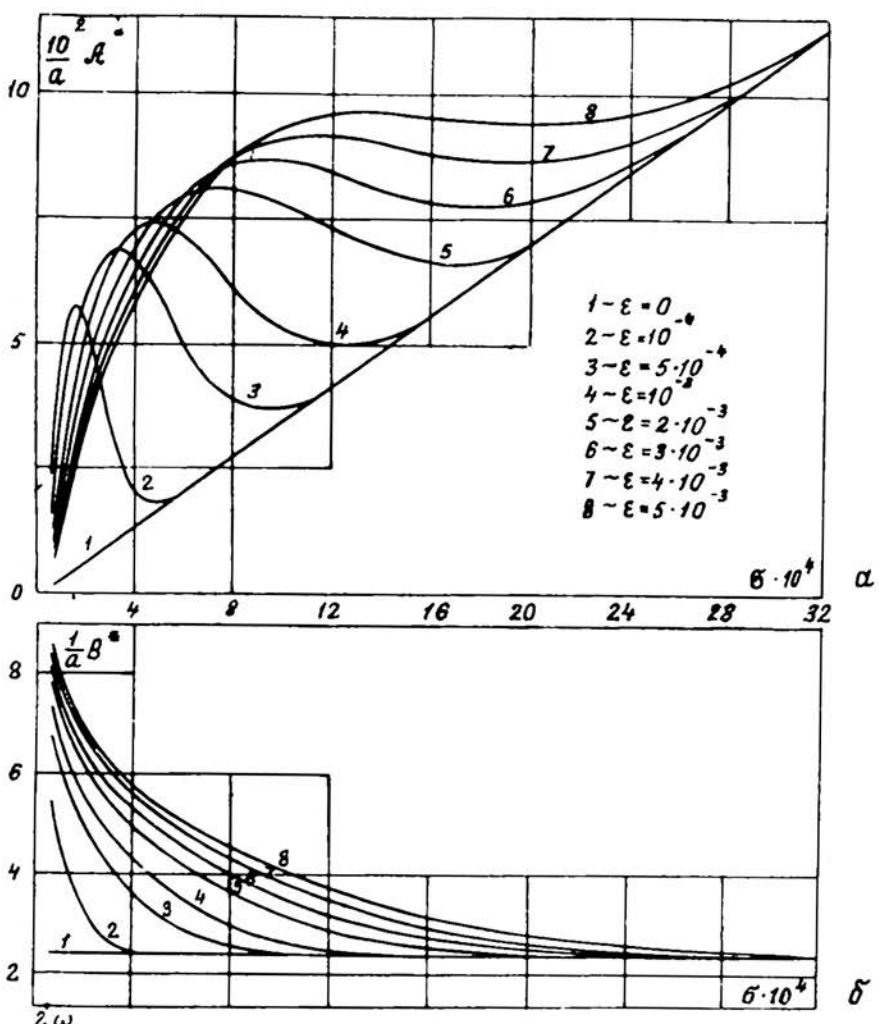


Рис. 4. Распределение  $\lambda^*$  и  $\beta^*$  по частотному спектру

0,9; 1,28; 1,81; 2,21; 2,55; 2,85. Однако для рассматриваемых  $\epsilon$  уже при частотах  $N_1 = 10^4 \delta$  (сек $^{-1}$ ), равных соответственно 6; 11,5; 15,5; 21,5; 25; 29; 31, линии 2, 3,...,8 совпадают с линией 1, т.е. величины  $\lambda^*$  фактически совпадают со значением в однородной жидкости. Сравнивая величины  $N$  и  $N_1$ , видим, что вклад неоднородности в волновое движение заметен лишь на частотах, более чем в 10 раз превышающих частоту Ваясяля-Брента.

Функция  $\beta^*(\delta)$ , как видно на рис. 4,б, для рассматриваемых перепадов плотности убывает до значения амплитуды горизонтальной составляющей скорости в однородной жидкости (линия 1) при изменении  $\delta$  в интервале  $2\omega < \delta < N_1$ .

Влияние стратификации на распределение  $C^*$ , характеризующее собою оценку возмущенного давления для рассматриваемых значений параметров, не превышает 1%. В частности, при  $b = 10^{-4}$  сек $^{-1}$  изменение  $\varepsilon$  от 0 до  $5 \cdot 10^{-3}$  приводит к увеличению  $C^*$  на 0,9%. Причем с ростом  $b$  влияние неоднородности на  $C^*$  уменьшается. Следовательно, распределение  $C^*$  по частотному спектру для  $0 < \varepsilon < 5 \cdot 10^{-3}$  близко к распределению  $C^*(b)$  в однородной жидкости, исследованному в работе [5].

3. Предположим теперь, что на свободной поверхности жидкости плавает ледяной покров. Рассматривая лед как тонкую упругую пластинку и принимая уравнение колебания ее в качестве граничного условия на поверхности лед-вода, получим аналогично предыдущему для  $\omega$ ,  $u$ ,  $\rho$  вида поверхности лед-вода  $\zeta$  и поверхности раздела слоев  $\zeta$ , формулы (1.7), (1.13) при  $b > 2\omega$ ,  $b > \sqrt{\kappa g}$  и формулы (1.11); (1.14) при  $2\omega < b < \sqrt{\kappa g}$ . Все обозначения в этих формулах остаются в силе, за исключением  $D$ , которое определяется выражением

$$D = g^2 b^{-2} (1 - \alpha, + \alpha, r^4),$$

$$\alpha, = \sigma^2 \alpha / \rho_0 g, \quad \alpha, = \rho h, \quad \alpha, = \alpha / \rho_0 g, \quad \alpha = E h^3 / 12 (1 - \gamma^2).$$

Здесь  $\rho$ ,  $h$ ,  $E$ ,  $\gamma$  - плотность, толщина, модуль нормальной упругости и коэффициент Пуассона льда.

Анализ показал, что ледяной покров существенно влияет лишь на короткие поверхностные волны. Влияние льда на внутренние и длинные поверхностные волны незначительно. Аналогичная картина имеет место и при генерации волн периодическими поверхностными давлениями [4].

#### ЛИТЕРАТУРА

- Сретенский Л.Н. Теория волновых движений жидкости. М., ОНТИ, 1936.
- Войт С.С. Волны на свободной поверхности и поверхности раздела от периодически действующего источника. - Труды МГИ АН СССР, т. 24. М., 1960.

3. Букатов А.Е. О внутренних волнах в непрерывно стравтифицированном океане. - В кн.: "Морские гидрофизические исследования", № 6(56). Севастополь, изд. МГИ АН УССР, 1971.
4. Букатов А.Е., Черкесов Л.В. Влияние неоднородности жидкости на колебания тонкой упругой пластинки. - "Прикладная механика", 1972, т. 8, в. 6.
5. Букатов А.Е., Черкесов Л.В. Генерация внутренних волн придонными возмущениями. - В кн.: "Морские гидрофизические исследования", № 1(60). Севастополь, изд. МГИ АН УССР, 1973.

A.E.BUKATOV

ON INTERNAL WAVES IN A CONTINUALLY STRATIFIED SEA

Internal waves generated in a nonuniform fluid by periodic oscillations of a basin bottom section are investigated. Density of the fluid changes continually with depth according to the law corresponding to a two-layer model with the stratified upper layer and the uniform lower one.